Д. т. н. В. В. Кузин¹ (⊠), к. т. н. М. Ю. Фёдоров¹, к. т. н. Предраг Дашич²

- <sup>1</sup> ФГБОУ ВО «Московский государственный технологический университет «Станкин», Москва, Россия
- <sup>2</sup> SaTCIP Publisher Ltd, г. Врнячка Баня, Сербия

УДК 621.778.1.073:666.3]:669.018.25

# МАТЕМАТИЧЕСКОЕ МОДЕЛИРОВАНИЕ ТЕРМОМЕХАНИЧЕСКИХ ПРОЦЕССОВ НА ГРАНИЦЕ СЛОЕВ ТІС/ТІN-ПОКРЫТИЯ, НАНЕСЕННОГО НА НИТРИДНУЮ КЕРАМИКУ

Установлены основные закономерности термомеханических процессов на границе слоев нанесенного на нитридную керамику TiC/TiN-покрытия, протекающих под воздействием тепловых и комбинированных нагрузок. Выявлено влияние материала основного структурного элемента керамики на температуру и напряжения, формируемые в контактирующих подслоях TiC/TiN-покрытия под действием этих нагрузок.

**Ключевые слова:** керамика, покрытие, слой, граница, напряжения, тепловой поток, комбинированная нагрузка.

#### **ВВЕДЕНИЕ**

реализация принципов инженерии поверхности при создании инновационных керамических инструментов требует детального описания поведения хрупкого материала с поверхностными функциональными слоями в разных условиях [1, 2]. Для выявления особенностей термомеханических процессов, протекающих в этих материалах под действием силовых и тепловых нагрузок, построены микроструктурная и математическая модели керамической пластины с многослойным покрытием, на основе которых создана автоматизированная система термопрочностных расчетов [3-5]. Их практическое использование позволило выявить закономерности влияния состава покрытия на напряженно-деформированное состояние структурных элементов оксидной и нитридной керамики, а также границы между покрытием и керамикой [6–10]. Установлено, что рельеф поверхности керамики и толщина однослойного покрытия существенно влияют на напряженное состояние поверхностного слоя керамики и границы «керамика-покрытие» под действием силовой и тепловой нагрузки [11-14]. Влияние структуры нитридной керамики на неоднородность напряжений на границе «керамика - покрытие» при термомеханическом воздействии оценено в работе [15]. На основе результатов математического моделирования термомехани-

 $\bowtie$ 

B. B. Кузин E-mail: kyzena@post.ru ческих процессов в слоисто-неоднородном материале разработан метод проектирования керамических инструментов с покрытиями [16, 17]. Применение этого метода позволило решить задачу создания керамических инструментов нового поколения для определенных условий эксплуатации [18, 19]. Опытная эксплуатация этих инструментов доказала их высокую эффективность и выявила существенный недостаток — высокую вероятность разрушения многослойных покрытий в результате зарождения и роста трещин на границе его слоев [20, 21].

Одной из причин этого вида разрушения многослойных покрытий на керамике могут быть экстремально высокие напряжения, приводящие к зарождению и накоплению структурных дефектов на границе слоев из-за существенной разницы в свойствах тугоплавких материалов и технологических факторов [22]. Экспериментальные методы не позволяют подтвердить или опровергнуть эту гипотезу [23]. Поэтому в работе поставлена цель — с использованием математического моделирования изучить термомеханические процессы на границе между слоями ТіС/ТіN-покрытия на нитридной керамике при совместном воздействии тепловых и силовых нагрузок.

#### МЕТОДИКА ИССЛЕДОВАНИЯ

Исследование теплового и напряженного состояния границы между слоями двухслойного TiC/TiN-покрытия выполнено по методике и с использованием расчетной схемы, приведенной в [24]. Проведены две серии численных экспериментов, в которых исследованы две системы

керамики на основе нитрида кремния: система № 1 — Si<sub>3</sub>N<sub>4</sub> (зерно) – Y<sub>2</sub>O<sub>3</sub> (межзеренная фаза) – Si<sub>3</sub>N<sub>4</sub> (матрица); система № 2 — TiC (зерно) – Y<sub>2</sub>O<sub>3</sub> (межзеренная фаза) – Si<sub>3</sub>N<sub>4</sub> (матрица). В первой серии численных экспериментов к свободной поверхности конструкции прикладывали тепловой поток  $Q = 3.10^7$  Вт/м $^2$  при теплоотводе с поверхностей, свободных от теплового потока, в окружающую среду с коэффициентом  $h=10^5$ Вт/(м<sup>2</sup>·град). Во второй серии численных экспериментов прикладываемая внешняя нагрузка включала комбинацию сил (сосредоточенная F = 0.1 H под углом  $45^{\circ}$  и распределенная P ==  $4.0\cdot10^8$  Па) и тепловой поток  $Q = 3\cdot10^7$  Вт/м<sup>2</sup> (при теплоотводе с коэффициентом  $h = 10^5$  Bt/ /(м<sup>2</sup>·град). Контрольные точки (КТ), выделенные по методике [25], были симметрично расположены в контактирующих подслоях слоя TiC ( $\Pi$ C<sub>1</sub>) — KT1–KT20 и в подслое слоя TiN ( $\Pi$ C<sub>2</sub>) КТ21-КТ40. Численные эксперименты выполняли с использованием автоматизированной системы термопрочностных расчетов RKS-ST v.1.0 [5].

Тепловое состояние  $\Pi C_1$  и  $\Pi C_2$  TiC/TiN-покрытия имеет следующие статистические характеристики T: наибольшее  $T_{\text{макс}}$ , наименьшее  $T_{\text{мин}}$  и среднее  $T_{\text{ср}}$  значение. Структурную неоднородность напряжений в  $\Pi C_1$  и  $\Pi C_2$  характеризовали следующими статистическими параметрами:  $\sigma_{11}$ ,  $\sigma_{22}$ ,  $\sigma_{12}$  и  $\sigma_{i}$ : наибольшее  $\sigma_{\text{макс}}$ , наименьшее  $\sigma_{\text{мин}}$  и среднее  $\sigma_{\text{ср}}$  значение, диапазон  $\Sigma$  изменения, стандартное отклонение s и число N изменения знака. Напряженное состояние границы между слоями TiC/TiN-покрытия оценивали следующими характеристиками:  $\Sigma^{\text{гр}}$ ,  $\sigma^{\text{гр}}_{\text{макс}}$ ,  $\sigma^{\text{гр}}_{\text{мин}}$ ,  $\sigma^{\text{ср}}_{\text{ср}}$  и  $s^{\text{гр}}$ , рассчитанными как среднее арифметическое  $\sigma_{\text{макс}}$ ,  $\sigma_{\text{мин}}$ ,  $\sigma_{\text{ср}}$ ,  $\Sigma$  и s значений интенсивности напряжений  $\sigma_i$  в  $\Pi C_1$  и  $\Pi C_2$ .

#### РЕЗУЛЬТАТЫ И ИХ ОБСУЖДЕНИЕ

Результаты расчетов температур в  $\Pi C_1$  и  $\Pi C_2$  системы № 1 и 2 под действием теплового потока Q=

 $= 3 \cdot 10^7 \, \text{Вт/м}^2 \, \text{показаны}$ на рис. 1. Кривые, характеризующие изменение температур в ПС1 и  $\Pi C_2$  разных систем, имеют одинаковый вид характеризуются тремя участками. На первом участке (КТ1-KT8  $\Pi C_1$  и KT21-KT28  $\Pi C_2$ ) температура резко увеличивается, на втором участке (КТ8-КТ15  $\Pi C_1$  и KT28-KT35  $\Pi C_2$ ) — практически не изменяется и на третьем (KT15-KT20 участке

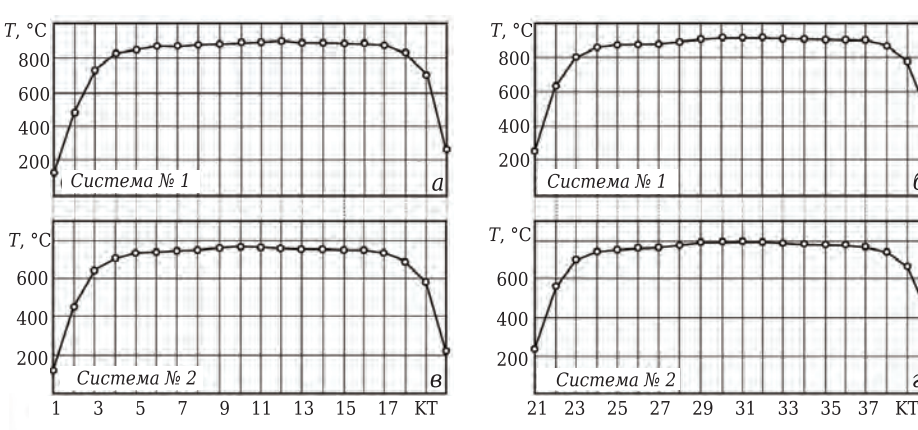
 $\Pi C_1$  и KT35–KT40  $\Pi C_2$ ) — резко уменьшается. Наименьшие температуры зафиксированы в KT, примыкающим к участкам, с которых осуществляется отвод тепла.

Под действием приложенного теплового потока в  $\Pi C_1$  системы  $N_2$  1 температура на участке КТ1-КТ8 увеличивается со 129 до 880 °C, а на участке КТ15-КТ20 — уменьшается до 249  $^{\circ}$ С (см. рис. 1, a). В  $\Pi$ С $_2$  этой системы на участке KT21-KT28 температура увеличивается с 258 до 897 °C, а на участке КТ35-КТ40 — уменьшается до 477 °C (см. рис. 1, б). В  $\Pi C_1 T_{\text{мин}}$  меньше, чем в  $\Pi C_2$ , в два раза, а  $T_{\text{макс}}$  и  $T_{\text{ср}}$  на 2 и 7 % соответственно. Температура в ПС₁ системы № 2 на участке КТ1-КТ8 увеличивается со 118 до 749 °C, а на участке КТ15-КТ20 — уменьшается до 214 °С (см. рис. 1,  $\theta$ ). Температура в  $\Pi$ С<sub>2</sub> на участке KT21-KT28 увеличивается с 236 до 770 °C, а на участке КТ35-КТ40 — уменьшается до 409 °C (см. рис. 1,  $\epsilon$ ). В  $\Pi C_1 T_{\text{мин}}$  меньше, чем в  $\Pi C_2$ , в два раза, а  $T_{\text{макс}}$  и  $T_{\text{ср}}$  на 6 и 7 % соответственно.

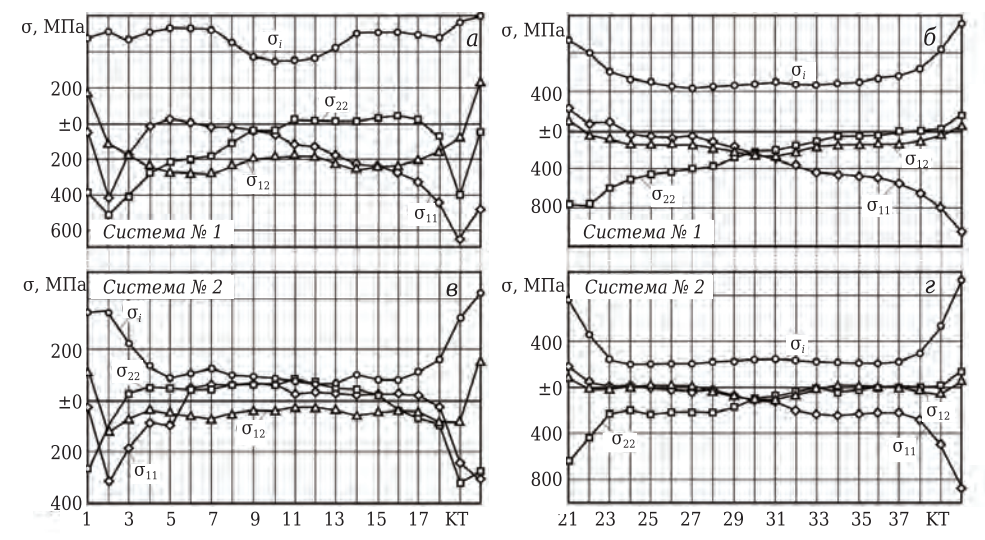
Результаты расчетов напряжений в  $\Pi C_1$  и  $\Pi C_2$  систем № 1 и 2 под действием теплового потока  $O = 3 \cdot 10^7$  Вт/м² показаны на рис. 2.

Установлено, что  $\sigma_{11}$ ,  $\sigma_{22}$ ,  $\sigma_{12}$  и  $\sigma_i$  в  $\Pi C_1$  систем № 1 и 2 на участках КТ4–КТ17 и КТ24–КТ40 изменяются достаточно стабильно, а на участках с резким изменением температуры зафиксированы существенные «скачки» напряжений. Кривые  $\sigma_{11}$ ,  $\sigma_{22}$  и  $\sigma_{12}$  для  $\Pi C_2$  систем № 1 и 2 имеют более сглаженный вид, по сравнению с  $\Pi C_1$ , причем на кривых  $\sigma_i$  выделяются три характерных участка. На первом участке (КТ21–КТ26)  $\sigma_i$  уменьшается, на втором участке (КТ26–КТ35)  $\sigma_i$  практически не изменяется, на третьем участке (КТ35–КТ40)  $\sigma_i$  увеличивается и достигает наибольшего значения в КТ40.

Установлено, что в  $\Pi C_1$  системы  $\mathbb{N}$  1 под действием теплового потока  $Q=3\cdot 10^7$  Вт/м² формируются напряжения  $\sigma_{11}$ , изменяющиеся в диапазоне 675 МПа — от 38 (КТ5) до -637 МПа (КТ19) при  $\sigma_{cp}=$  -179 МПа, стандартном отклоне-



**Рис. 1.** Температура в ПС1 (a, e) и ПС2 (f, e) разных систем под действием теплового потока



**Рис. 2.** Напряжения в ПС1 (a, e) и ПС2 (f, g) разных систем под действием теплового потока

нии s=190 МПа и числе изменений знака N=2 (см. рис. 2, a). Напряжения  $\sigma_{22}$  изменяются в диапазоне 558 МПа — от 51 (КТ16) до -507 МПа (КТ2) при  $\sigma_{\rm cp}=-128$  МПа, s=176 МПа и N=2. Напряжения  $\sigma_{12}$  изменяются в диапазоне 521 МПа — от 232 (КТ20) до -289 МПа (КТ7) при  $\sigma_{\rm cp}=-172$  МПа, s=139 МПа и N=2. Интенсивность напряжений  $\sigma_i$  изменяется в диапазоне 257 МПа от 343 (КТ10) до 600 МПа (КТ20) при  $\sigma_{\rm cp}=474$  МПа и s=73 МПа.

В ПС₂ системы № 1 под действием теплового потока формируются напряжения  $\sigma_{11}$ , изменяющиеся в диапазоне 1243 МПа — от 233 (КТ21) до –1010 МПа (КТ40) при  $\sigma_{\rm cp}=$  –279 МПа, s= 313 МПа и N= 1 (см. рис. 2,  $\delta$ ). Напряжения  $\sigma_{22}$  изменяются в диапазоне 938 МПа — от 179 (КТ40) до –759 МПа (КТ22) при  $\sigma_{\rm cp}=$  –249 МПа, s= 264 МПа и N= 1. Напряжения  $\sigma_{12}$  изменяются в диапазоне 350 МПа — от 105 (КТ21) до –245 МПа (КТ31) при  $\sigma_{\rm cp}=$  –121 МПа, s= 87 МПа и N= 2. Интенсивность напряжений  $\sigma_i$  изменяется в диапазоне 684 МПа — от 430 (КТ27) до 1114 МПа (КТ40) при  $\sigma_{\rm cp}=$  579 МПа и s= 185 МПа.

В ПС<sub>1</sub> системы № 2 под действием теплового потока формируются напряжения  $\sigma_{11}$ , изменяющиеся в диапазоне 386 МПа — от 71 (КТ9) до -315 МПа (КТ2) при  $\sigma_{\rm cp}=$  -35 МПа, стандартном отклонении s=125 МПа и числе изменений знака N=2 (см. рис. 2, e). Напряжения  $\sigma_{22}$  изменяются в диапазоне 404 МПа — от 83 (КТ11) до -321 МПа (КТ19) при  $\sigma_{\rm cp}=$  -23 МПа, s=126 МПа и N=2. Напряжения  $\sigma_{12}$  изменяются в диапазоне 301 МПа — от -120 (КТ2) до 181 МПа (КТ20) при  $\sigma_{\rm cp}=$  -31 МПа, s=68 МПа и N=2. Интенсивность напряжений  $\sigma_i$  изменяется в диапазоне 358 МПа от 69 (КТ12) до 427 МПа (КТ20) при  $\sigma_{\rm cp}=$  160 МПа и s= 111 МПа.

В ПС₂ системы № 2 под действием теплового потока формируются напряжения  $\sigma_{11}$ , изменяющиеся в диапазоне 1033 МПа — от 183 (КТ21)

до -850 МПа (КТ40) при  $\sigma_{cp} = -153$  МПа,  $s = 221 \ \mathrm{M}\Pi \mathrm{a} \ \mathrm{u} \ N = 1$ (см. рис. 2, г). Напряжения оз изменяются в диапазоне 782 МПа — от 144 (КТ40) до -638 МПа (КТ22) при  $\sigma_{cp} = -133$  МПа,  $s = 175 \ \mathrm{M}\Pi \mathrm{a} \ \mathrm{u} \ N = 2.$ Напряжения  $\sigma_{12}$  изменяются в диапазоне 182 МПа — от 54 (КТ21) до -128 МПа (КТ31) при  $\sigma_{cp} = -40$ MΠa, s = 48 MΠa и N = 2. Интенсивность напряжений о изменяется в диапазоне 731 МПа-от 200

(КТ24) до 931 МПа (КТ40) при  $\sigma_{\rm cp}$  = 316 МПа и s = 199 МПа.

Сравнительный анализ показателей структурной неоднородности напряжений в  $\Pi C_1$  и  $\Pi C_2$  обеих систем, сформированных тепловым потоком  $Q=3\cdot 10^7$  Вт/м² показал следующее. Значения  $\Sigma$ ,  $\sigma_{\text{макс}}$ ,  $\sigma_{\text{мин}}$ ,  $\sigma_{\text{ср}}$  и s для  $\sigma_{\text{11}}$ ,  $\sigma_{\text{22}}$  и  $\sigma_{\text{i}}$  в  $\Pi C_1$  меньше, чем в  $\Pi C_2$ . Например, значения  $\Sigma$ ,  $\sigma_{\text{макс}}$ ,  $\sigma_{\text{мин}}$ ,  $\sigma_{\text{ср}}$  и s для  $\sigma_{\text{i}}$  в  $\Pi C_1$  системы № 1 меньше, чем в  $\Pi C_2$ , в 2,7; 1,9; 1,3; 1,2 и 2,5 раза соответственно. Для системы № 2 эта разница составляет 2; 2,2; 2,9; 2 и 1,8 раза соответственно.

Напряженное состояние границы между слоями TiC/TiN-покрытия, нанесенного на нитридную керамику, под действием теплового потока  $Q=3\cdot 10^7$  Вт/м² определяется следующими характеристиками:  $\Sigma^{\rm rp}=470,5$  и 544,5 МПа;  $\sigma^{\rm rp}_{\rm Makc}=857$  и 679 МПа;  $\sigma^{\rm rp}_{\rm op}=386,5$  и 134,5 МПа;  $\sigma^{\rm rp}_{\rm op}=526,5$  и 238 МПа и  $s^{\rm rp}=129$  и 155 МПа для систем № 1 и 2 соответственно. Значения  $\Sigma^{\rm rp}$  и  $s^{\rm rp}$  для системы № 1 ниже, чем для системы № 2, на 15 и 20 % соответственно. Значения  $\sigma^{\rm rp}_{\rm Makc}$ ,  $\sigma^{\rm rp}_{\rm MH}$  и  $\sigma^{\rm rp}_{\rm cp}$  для системы № 1 выше, чем для системы № 2, в 1,3; 2,9 и 2,2 раза соответственно.

Результаты расчетов напряжений в  $\Pi C_1$  и  $\Pi C_2$  двух систем под действием комбинированной нагрузки (F=0.1 H,  $P=4.0\cdot10^8$  Па и  $Q=3\cdot10^7$  Вт/м²) представлены на рис. З. Видно, что в этом случае материал зерна не оказывает существенного влияния на характер кривых  $\sigma_{11}$ ,  $\sigma_{22}$ ,  $\sigma_{12}$  и  $\sigma_i$  для  $\Pi C_1$  и  $\Pi C_2$  — кривые имеют однотипный вид. Особенностью этих кривых является наиболее значимое изменение напряжений на участке КТ18–КТ20.

Установлено, что в  $\Pi C_1$  системы № 1 (см. рис. 3, a) формируются напряжения  $\sigma_{11}$ , изменяющиеся в диапазоне 1117 МПа от -4 (КТ9) до -1121 МПа (КТ20) при  $\sigma_{\rm cp} = -251$  МПа, s = 303 МПа и N = 0. Напряжения  $\sigma_{22}$  изменяются в диапазоне 1121 МПа — от 96 (КТ11) до -1025 МПа (КТ2)

при  $\sigma_{\rm cp} = -319$  МПа, s = 335 МПа и N = 3 . Напряжения  $\sigma_{12}$  изменяются в диапазоне 713 МПа — от 95 (КТ2) до 808 МПа (КТ20) при  $\sigma_{\rm cp} = 209$  МПа, s = 154 МПа и N = 0. Интенсивность напряжений  $\sigma_i$  изменяется в диапазоне 1407 МПа — от 337 (КТ14) до 1741 МПа (КТ20) при  $\sigma_{\rm cp} = 632$  МПа и s = 309 МПа.

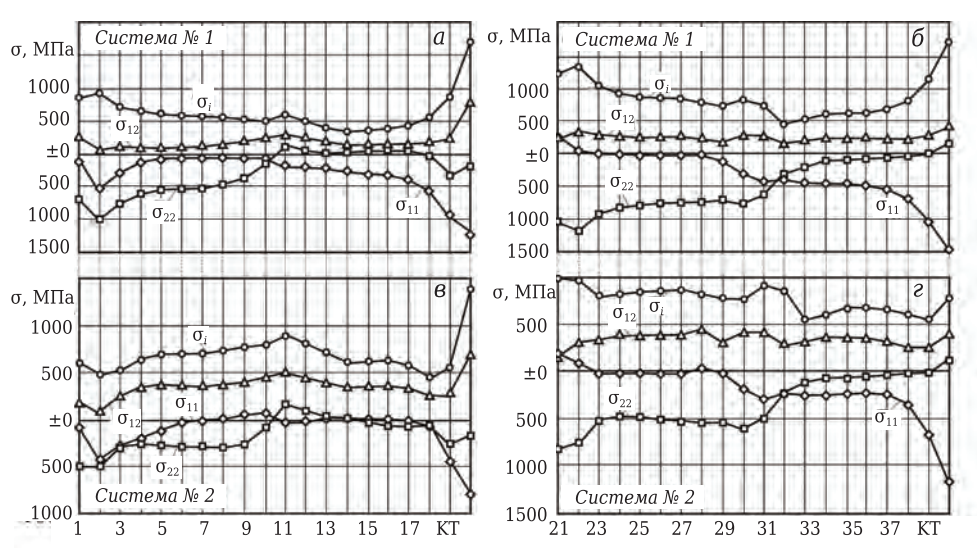
В  $\Pi C_2$  системы № 1 (см. рис. 3, б) формируются напряжения  $\sigma_{11}$ , изменяющиеся в диапазоне 1712 МПа — от

247 (КТ21) до -1465 МПа (КТ40) при  $\sigma_{\rm cp} =$  = -327 МПа, s=403 МПа и N=1. Напряжения  $\sigma_{\rm 22}$  изменяются в диапазоне 1341 МПа — от 180 (КТ40) до -1024 МПа (КТ21) при  $\sigma_{\rm cp} =$  = -466 МПа, s=405 МПа и N=1. Напряжения  $\sigma_{\rm 12}$  изменяются в диапазоне 257 МПа — от 174 (КТ32) до 431 МПа (КТ40) при  $\sigma_{\rm cp} = 266$  МПа, s=57 МПа и N=0. Интенсивность напряжений  $\sigma_{\rm i}$  изменяется в диапазоне 1266 МПа — от 466 (КТ32) до 1732 МПа (КТ40) при  $\sigma_{\rm cp} = 865$  МПа и s=305 МПа.

В ПС₁ системы № 2 формируются напряжения  $\sigma_{11}$ , изменяющиеся в диапазоне 852 МПа — от 99 (КТ10) до -753 МПа (КТ20) при  $\sigma_{cp} = -84$  МПа, s = 214 МПа и N = 3 (см. рис. 3, e). Напряжения  $\sigma_{22}$  изменяются в диапазоне 651 МПа — от 143 (КТ11) до -508 МПа (КТ1) при  $\sigma_{cp} = -185$  МПа, s = 178 МПа и N = 2. Напряжения  $\sigma_{12}$  изменяются в диапазоне 631 МПа — от 71 (КТ2) до 702 МПа (КТ20) при  $\sigma_{cp} = 359$  МПа, s = 127 МПа и N = 0. Интенсивность напряжений  $\sigma_i$  изменяется в диапазоне 932 МПа — от 462 (КТ18) до 1394 МПа (КТ20) при  $\sigma_{cp} = 695$  МПа и s = 199 МПа.

В ПС₂ системы № 2 формируются напряжения  $\sigma_{11}$ , изменяющиеся в диапазоне 1363 МПа — от 195 (КТ21) до -1168 МПа (КТ40) при  $\sigma_{\rm cp}$  = = -178 МПа, s = 298 МПа и N = 3 (см. рис. 3, z). Напряжения  $\sigma_{22}$  изменяются в диапазоне 967 МПа — от 144 (КТ40) до -823 МПа (КТ21) при  $\sigma_{\rm cp}$  = -334 МПа, s = 286 МПа и N = 1. Напряжения  $\sigma_{12}$  изменяются в диапазоне 268 МПа — от 184 (КТ21) до 452 МПа (КТ28) при  $\sigma_{\rm cp}$  = 357 МПа, s = 65 МПа и N = 0. Интенсивность напряжений  $\sigma_i$  изменяется в диапазоне 431 МПа — от 558 (КТ33) до 989 МПа (КТ21) при  $\sigma_{\rm cp}$  = 773 МПа и s = 128 МПа.

Сравнительный анализ показателей структурной неоднородности напряжений в  $\Pi C_1$  и  $\Pi C_2$  обеих систем, сформированных комбинированной нагрузкой, показал, что  $\Sigma$ ,  $\sigma_{\text{макс}}$ ,  $\sigma_{\text{мин}}$ ,  $\sigma_{\text{ср}}$  и s напряжений  $\sigma_{\text{11}}$  и  $\sigma_{\text{22}}$  в  $\Pi C_1$  двух систем



**Рис. 3.** Напряжения в  $\Pi$ C1 (*a*) и  $\Pi$ C2 (*б*) разных систем под действием комбинированной нагрузки

меньше, чем в  $\Pi C_2$ , а напряжений  $\sigma_{12}$  и  $\sigma_i$  (кроме  $\sigma_{\text{мин}}$  и  $\sigma_{cp}$ ) в  $\Pi C_1$  больше, чем в  $\Pi C_2$ .

Напряженное состояние границы между слоями TiC/TiN-покрытия, нанесенного на нитридную керамику, под действием комбинированной нагрузки определяется следующими характеристиками:  $\Sigma^{\rm rp}=1336,5$  и 681,5 МПа,  $\sigma^{\rm rp}_{\rm Makc}=1736,5$  и 1191,5 МПа,  $\sigma^{\rm rp}_{\rm Makc}=401,5$  и 510 МПа,  $\sigma^{\rm rp}_{\rm cp}=748,5$  и 734 МПа и  $s^{\rm rp}=307$  и 164 МПа для керамики систем № 1 и 2 соответственно. Установлено, что значения  $\Sigma^{\rm rp}$ ,  $\sigma^{\rm rp}_{\rm Makc}$  и  $s^{\rm rp}$  для  $\sigma_{\rm i}$ , характеризующие напряженное состояние границы между слоями TiC/TiN-покрытия, в 2; 1,5 и 1,9 раза (соответственно) в системе № 2 меньше, чем в системе № 1. Значения  $\sigma^{\rm rp}_{\rm Mak}$  в системе № 2 больше в 1,3 раза, чем в системе № 1, а значения  $\sigma^{\rm rp}_{\rm op}$  в обеих системах практически совпадают.

#### **ЗАКЛЮЧЕНИЕ**

В результате численных расчетов выявлены основные закономерности термомеханических процессов на границе между слоями TiC/TiNпокрытия на нитридной керамике при совместном воздействии тепловых и силовых нагрузок. Установлено, что тепловое состояние границы между слоями двухслойного покрытия в системе с зерном из карбида титана, формируемое под действием теплового потока, характеризуется меньшими температурами, чем в системе с зерном из нитрида кремния. Значения  $\sigma^{\rm rp}_{_{\rm MaKC}\prime}$  $\sigma^{\rm rp}_{_{
m MMH}}$  и  $\sigma^{\rm rp}_{_{
m cp}}$ , определяющие напряженное состояние границы между слоями двухслойного покрытия TiC-TiN, при действии теплового потока меньше в 1,3; 2,9 и 2,2 раза соответственно по сравнению с системой с зерном из нитрида кремния при несколько больших значениях  $\Sigma^{\rm rp}$  и  $s^{\rm rp}$ .

Под действием комбинированной нагрузки в системе с зерном из карбида титана значения

характеристик  $\Sigma^{\rm rp}$ ,  $\sigma^{\rm rp}_{\rm макс}$  и  $s^{\rm rp}$ , определяющих напряженное состояние границы между слоями двухслойного покрытия, меньше аналогичных характеристик системы с зерном из нитрида кремния в 2; 1,5 и 1,9 раза при практически равных значениях  $\sigma^{\rm rp}_{\rm cp}$ . Это свидетельствует о более благоприятном напряженном состоянии границы между слоями двухслойного покрытия TiC/TiN в системе с зерном из карбида титана и, соответственно, меньшей вероятности появления дефектов на границе между слоями двухслойного покрытия TiC/TiN под действием этих нагрузок по сравнению с системой с зерном из нитрида кремния с таким же двухслойным покрытием.

\* \* \*

Настоящая работа выполнена при поддержке Минобрнауки России в рамках выполнения государственного задания (задание 9.1372.2017/4.6).

#### Библиографический список

- 1. *Григорьев, С. Н.* Инженерия поверхности металлорежущего инструмента методом комбинированной вакуумно-плазменной обработки (Часть 1) / С. Н. Григорьев, М. А. Волосова // Ремонт. Восстановление. Модернизация. 2004. № 7. С. 2-6.
- 2. **Григорьев, С. Н.** Инженерия поверхности металлорежущего инструмента методом комбинированной вакуумно-плазменной обработки (Часть 2) / С. Н. Григорьев, М. А. Волосова // Ремонт. Восстановление. Модернизация. 2004. № 8. С. 2–6.
- 3. **Кузин, В. В.** Микроструктурная модель керамической режущей пластины / В. В. Кузин // Вестник машиностроения. 2011. № 5. С. 72–76.
- **Kuzin, V. V.** Microstructural model of ceramic cutting plate / V. V. Kuzin // Russ. Eng. Res. 2011. Vol. 31, N 5. P. 479–483.
- 4. **Кузин, В. В.** Математическая модель напряженнодеформированного состояния керамической режущей пластины / В. В. Кузин, В. И. Мяченков // Вестник машиностроения. — 2011. — № 10. — С. 75–80.
- **Kuzin, V. V.** Stress-strain state of ceramic cutting plate / V. V. Kuzin, V. I. Myachenkov // Russ. Eng. Res. 2011. Vol. 31, № 10. P. 994–1000.
- 5. *Григорьев, С. Н*. Автоматизированная система термопрочностных расчетов керамических режущих пластин / *С. Н. Григорьев, В. И. Мяченков, В. В. Кузин* // Вестник машиностроения. 2011. № 11. C. 26—31.
- *Grigor'ev, S. N.* Automated thermal-strength calculations of ceramic cutting plates / *S. N. Grigor'ev, V. I. Myachenkov, V. V. Kuzin* // Russ. Eng. Res. 2011. Vol. 31, № 11. P. 1060–1066.
- 6. *Григорьев С. Н.* Напряженно-деформированное состояние инструментов из нитридной керамики с покрытием / С. Н. Григорьев, В. В. Кузин, М. А. Волосова // Вестник машиностроения. 2012. № 6. С. 64–69.
- *Grigor'ev, S. N.* Stress-strain state of a coated nitride-ceramic tool / *S. N. Grigor'ev, V. V. Kuzin, M. A. Volosova* // Russ. Eng. Res. 2012. Vol. 32, № 7/8. P. 561–566.
- 7. **Волосова, М. А.** Влияние покрытия из нитрида титана на структурную неоднородность напряжений в

- оксидно-карбидной керамике. Часть 4. Действует тепловой поток / M. A. Bолосова, C. H.  $\Gamma$ ригорьев, B. B. Kузин // Новые огнеупоры. 2015.  $\mathbb{N}$  2.  $\mathbb{C}$ . 47–52.
- **Volosova, M. A.** Effect of titanium nitride coating on stress structural inhomogeneity in oxide-carbide ceramic. Part 4. Action of heat flow /M. A. Volosova, S. N. Grigor'ev, V. V. Kuzin // Refract. Ind. Ceram. 2015. Vol. 56, N 1. P. 91–96.
- 8. **Волосова, М. А.** Влияние покрытия из нитрида титана на структурную неоднородность напряжений в оксидно-карбидной керамике. Часть 5. Действует комбинированная нагрузка / М. А. Волосова, С. Н. Григорьев, В. В. Кузин // Новые огнеупоры. 2015. № 4.- С. 49-53.
- **Volosova, M. A.** Effect of titanium nitride coating on stress structural inhomogeneity in oxide-carbide ceramic. Part 5. A combined load operates / M. A. Volosova, S. N. Grigor'ev, V. V. Kuzin // Refract. Ind. Ceram. 2015. Vol. 56, N 2. P. 197–200.
- 9. **Кузин, В. В.** Влияние покрытия ТіС на напряженнодеформированное состояние пластины из высокоплотной нитридной керамики в условиях нестационарной термоупругости / В. В. Кузин, С. Н. Григорьев, М. А. Волосова // Новые огнеупоры. — 2013. — № 9. — С. 52–57.
- **Kuzin, V. V.** Effect of a TiC coating on the stress-strain state of a plate of a high-density nitride ceramic under nonsteady thermoelastic conditions / V. V. Kuzin, S. N. Grigor'ev, M. A. Volosova // Refract. Ind. Ceram. 2014. Vol. 54, № 5. P. 376–380.
- 10. *Grigoriev, S.* The stress-strained state of ceramic tools with coating / *S. Grigoriev, V. Kuzin, D. Burton* [et al.] // Proceedings of the 37th International MATADOR 2012 Conference. Springer, 2013. C. 181–184.
- 11. **Кузин, В. В.** Влияние теплового потока на неоднородность напряжений в поверхности оксидной керамики с развитым рельефом / В. В. Кузин, С. Н. Григорьев, М. Р. Портной // Новые огнеупоры. 2015. № 6. С. 66-68.
- **Kuzin, V. V.** The Influence of heat flow on the nonuniformity of the stresses in the surface of oxide ceramic with fully developed relief / V. V. Kuzin, S. N. Grigor'ev, M. R. Portnoi // Refract. Ind. Ceram. 2015. Vol. 56, N 3. P. 314–317.
- 12. **Кузин, В. В.** Неоднородность напряжений в поверхности оксидно-карбидной керамики с развитым рельефом под действием теплового потока / В. В. Кузин, М. Р. Портной, С. Ю. Фёдоров // Новые огнеупоры. 2015. № 10. С. 63-66.
- **Kuzin, V. V.** Stress inhomogeneity in oxide-carbide ceramic surface with developed relief under action of heat flow / V. V. Kuzin, M. R. Portnoi, S. Yu. Fedorov // Refract. Ind. Ceram. 2016. Vol. 56, № 5. P. 557–560.
- 13. **Кузин, В. В.** Трансформация напряженного состояния поверхностного слоя нитридной керамики при изменении толщины TiC-покрытия. Вариант нагружения тепловой поток / В. В. Кузин, М. Ю. Федоров, М. А. Волосова // Новые огнеупоры. 2017. № 2. С. 54–60.
- 14. **Кузин, В. В.** Трансформация напряженного состояния поверхностного слоя нитридной керамики при изменении толщины TiC-покрытия. Вариант нагружения комбинированная нагрузка / В. В. Кузин, М. Ю. Фёдоров, М. А. Волосова // Новые огнеупоры. 2017. № 4. С. 53–59.

- 15. **Кузин, В. В.** Напряженное состояние границы между керамикой и покрытием под действием комбинированной нагрузки / В. В. Кузин, М. Ю.  $\Phi\ddot{e}\partial$ оров // Новые огнеупоры. 2016. № 6. С. 43–48.
- **Kuzin, V. V.** Stressed state of a boundary between ceramic and coating under action of a combined load / V. V. Kuzin, M. Yu. Fedorov // Refract. Ind. Ceram. 2016. Vol.  $57, \, \mathbb{N} \, 3.$  P. 308-312.
- 16. **Kuzin, V.** Method of investigation of the stress-strain state of surface layer of machine elements from a sintered nonuniform material / *V. Kuzin, S. Grigoriev* // Applied Mechanics and Materials. 2014. Vol. 486. P. 32–35.
- 17. **Kuzin, V.** Applications of multi-level method of stress-strain state analysis in ceramic tools design / V. *Kuzin, S. Grigoriev, M. Fedorov //* Applied Mechanics and Materials. 2016. Vol. 827. P. 173–176.
- 18. *Volosova, M.* Cutting ceramic inserts: the influence of abrasive machining and surface coatings on the operational characteristics / *M. Volosova, S. Grigoriev //* Mechanics and Industry. 2016. Vol. 17 (7). C. 705.
- 19. **Кузин, В. В.** Разработка и исследование режущих инструментов из нитридной керамики с покрытием / В. В. Кузин // Тракторы и сельскохозяйственные машины. 2006. № 9. С. 48–52.
- 20. **Vereschaka**, **A. S.** Improving the efficiency of the cutting tools made of mixed ceramics by applying modifying nanoscale multilayered coatings / A. S. Vereschaka, S. N. Grigoriev, E. S. Sotova, A. A. Vereschaka // Advanced Materials Research. 2013. Vols. 712–715. P. 391–394.

- 21. **Кузин, В. В.** Эффективное применение высокоплотной керамики для изготовления режущих и деформирующих инструментов / В. В. Кузин // Новые огнеупоры. 2010. № 12. С. 13–19.
- **Kuzin, V. V.** Effective use of high density ceramic for manufacture of cutting and working tools / V. V. Kuzin // Refract. Ind. Ceram. 2010. Vol. 51, N 6. P. 421–426.
- 22. **Huang, L. L.** Overview on double ceramic layer thermal barrier coatings / L. L. Huang, H. M. Meng, J. Tang [et al.] // Advanced Materials Research. 2014. Vol. 1053. P. 364–372.
- 23. **Верещака, А. С.** Исследование теплового состояния режущих инструментов с помощью термоиндикаторных веществ / А. С. Верещака, В. М. Провоторов, В. В. Кузин [и др.] // Вестник машиностроения. 1986. № 1. С. 45–49.
- 24. **Кузин, В. В.** Напряженное состояние границы между слоями TiC/TiN-покрытия, нанесенного на нитридную керамику, под действием силовой нагрузки / В. В. Кузин, С. Ю. Фёдоров, П. Дашич // Новые огнеупоры. 2017. № 6. C. 60-65.
- 25. **Kuzin, V.** Method of investigation of the stress-strain state of surface layer of machine elements from a sintered nonuniform material / V. Kuzin, S. Grigoriev // Applied Mechanics and Materials. 2014. Vol. 486. P. 32–35. ■

Получено 12.07.2017 © В. В. Кузин, М. Ю. Фёдоров, Предраг Дашич, 2017 г.

НАУЧНО-ТЕХНИЧЕСКАЯ ИНФОРМАЦИЯ

## 15-Й ВСЕМИРНЫЙ КОНГРЕСС

26-29 сентября 2017 г.

г. Сантьяго, Чили

### И ОБЪЕДИНЕННАЯ МЕЖДУНАРОДНАЯ ТЕХНИЧЕСКАЯ КОНФЕРЕНЦИЯ ПО ОГНЕУПОРАМ



#### ОСНОВНЫЕ ТЕМЫ

- Испытания огнеупоров
- Новые установки и оборудование
- Монолитные огнеупоры
- Огнеупоры для сталелитейной промышленности
- Сырьевые материалы и глобальные вопросы
- Огнеупоры для стекольной промышленности
- Огнеупоры для цементной промышленности
- Моделирование огнеупоров
- Нефтехимия
- Огнеупоры для энергетики и переработки отходов
- Экономия энергии за счет применения огнеупоров
- Бескислородные огнеупорные системы
- Огнеупоры для химических процессов
- Разработки основных огнеупоров
- Образование в области огнеупоров
- Огнеупоры для цветной металлургии
- Безопасность, окружающая среда, переработка огнеупоров

http://www.expoclub.ru/db/exhibition/view/7983/ http://unitecr2017.org

№ 8 2017 **Hobbie Otheytopbi** ISSN 1683-4518 **69**